

Магнитные свойства наночастиц γ -оксида железа в матрице мезопористого оксида кремния

М. В. Харламова¹⁾, Н. А. Саполетова, А. А. Елисеев, А. В. Лукашин

Факультет наук о материалах МГУ им. М.В.Ломоносова, 119992 Москва, Россия

Поступила в редакцию 13 февраля 2007 г.

После переработки 20 марта 2007 г.

Проведен синтез магнитных нанокомпозитов $\gamma\text{-Fe}_2\text{O}_3/\text{SiO}_2$ путем пропитки мезопористого оксида кремния раствором наночастиц γ -оксида железа в гексане. Последующая термическая обработка синтезированных образцов (отжиг в течение трех часов в токе воздуха) позволяет получать материалы с различными структурными и магнитными свойствами.

PACS: 75.75.+a

Актуальной проблемой современного материаловедения является получение наноструктур, обладающих заданными свойствами. Особый интерес к наноструктурированным материалам связан с заметным изменением их физических свойств по сравнению с объемным веществом. Например, наибольшее изменение магнитных свойств материала связано с изменением доменной структуры магнитоупорядоченных систем при уменьшении размеров частиц [1]. Для объемного вещества характеристические магнитные свойства определяются энергией доменных стенок, а при уменьшении размера многодоменной частицы значительно уменьшается подвижность стенок доменов, что соответствует росту коэрцитивной силы материала [2, 3]. В настоящее время особый интерес привлекают железосодержащие наноматериалы на основе $\gamma\text{-Fe}_2\text{O}_3$, имеющего в объемном состоянии ферримагнитное упорядочение моментов с $M_S = 80 \text{ э.м.е./г}$ и обладающего при 298 К коэрцитивной силой от 250 Э, благодаря возможности их применения в запоминающих устройствах и в качестве электронных и магнитных функциональных компонентов [4].

Существуют различные способы получения свободных наночастиц оксида железа: разложение железосодержащих прекурсоров с использованием жесткого рентгеновского излучения, электрохимические методы, лазерный пиролиз прекурсоров железа [5]. Однако использование свободных наночастиц затруднено из-за их метастабильности, склонности к агрегации и быстрому разрушению структуры. Это обусловлено увеличением вклада величины удельной поверхности в физико-химические свойства системы по

мере уменьшения линейных размеров частиц до нанометровых, что приводит к возрастанию химической активности и усилинию агрегации наночастиц. Кроме того, сферические магнитные наночастицы, как правило, обладают низкими значениями температур блокировки и практически нулевой коэрцитивной силой при комнатной температуре. Одновременно уже незначительное отклонение от сферической формы наночастиц (увеличение анизотропии формы) приводит к резкому возрастанию коэрцитивной силы. Возможным решением этих проблем является подход, связанный с синтезом анизотропных магнитных наночастиц, заключенных в химически инертную матрицу, обеспечивающую возможность взаимодействия отдельных частиц [6].

Способы получения нанокомпозитов можно условно разделить на две группы [7]: методы, основанные на непосредственном формировании наноструктур в объеме матрицы в процессе химической модификации, и методы, основанные на получении свободных наночастиц с последующим их внедрением в матрицу.

Первая группа методов позволяет непосредственно контролировать параметры наночастиц в матрице на стадии их формирования. Используемые для этих целей матрицы должны содержать структурные пустоты, которые могут быть заполнены соединениями, последующая модификация которых приведет к формированию в них наночастиц [8].

Вторая группа методов получения нанокомпозитов отличается простотой в реализации, однако накладывает серьезные ограничения на возможность выбора матрицы, так как ее полости должны соответствовать по размеру внедряемым частицам. Кроме того, при введении в поры не исключены процессы

¹⁾ e-mail: x-mari-mir@yandex.ru

агрегации наночастиц. В то же время, преимуществом данного метода является возможность включения в матрицу наночастиц с заранее известным химическим составом и свойствами, что значительно облегчает дальнейшие исследования полученных нанокомпозитов. Однако для получения нанокомпозитов $\gamma\text{-Fe}_2\text{O}_3/\text{SiO}_2$ данный метод ранее не использовался. В связи с этим в нашей работе проведен синтез наночастиц $\gamma\text{-Fe}_2\text{O}_3$ с их последующим внедрением в матрицу мезопористого оксида кремния путем пропитки и исследования свойств полученных нанокомпозитов. Методом внедрения наночастиц в матрицу получены нанокомпозиты $\gamma\text{-Fe}_2\text{O}_3/\text{SiO}_2$. Исследовано влияние температуры кристаллизации на структурные и магнитные свойства материалов. Для ряда образцов рассчитаны форм-факторы магнитно-коррелированных объемов, формируемых наночастицами $\gamma\text{-Fe}_2\text{O}_3$.

Мезопористый оксид кремния получали по методике, описанной в работе [9]. В качестве темплата был использован полиэтиленоксид – полипропиленоксид – триблоексополимер EO₂₀PO₇₀EO₂₀, в качестве источника кремния – тетраэтоксисилан. Реакционную смесь готовили следующим образом: навеску темплата, массой 2 г, растворяли при нагревании в 55.8 мл дистиллированной воды и добавляли 62 мл 0.1 М раствора HCl. Далее к полученному раствору добавляли при перемешивании фторид аммония массой 0.0054 г и TEOS объемом 4.7 мл, а затем полученную смесь веществ термостатировали при комнатной температуре в течение одного дня. По окончании реакции полученный осадок отфильтровывали через бумажный фильтр, промывали дистиллированной водой до достижения нейтральной среды и высушивали на воздухе при 100 °C. Удаление темплата осуществляли отжигом образцов в течение 10 ч в токе кислорода при температуре 300 °C.

Наночастицы γ -оксида железа были получены по методике, описанной в работе [10]. В трехгорлую колбу, снабженную термометром и обратным холодильником, помещали 20 мл диоктилового эфира и растворяли 0.854 г олеиновой кислоты. Полученную смесь нагревали при перемешивании до 100 °C и добавляли 0.4 мл пентакарбонила железа. Далее полученный раствор выдерживали при этой температуре в течение 1 ч для разложения пентакарбонила железа и охлаждали до комнатной температуры. К образовавшейся смеси добавляли навеску (CH₃)₃NO массой 0.68 г и проводили выдерживание реакционной смеси при 130 °C в токе аргона в течение 2 ч, а затем при 150 °C в течение 1 ч. К полученному раствору наночастиц приливали равное по объему количество эти-

лового спирта. Полученный осадок отделяли центрифугированием. После этого наночастицы растворяли в гексане.

Получение нанокомпозитов $\text{Fe}_2\text{O}_3/\text{SiO}_2$ проводили путем пропитки мезопористого оксида кремния раствором наночастиц γ -оксида железа в гексане при перемешивании в течение 3 ч. Интеркалированные матрицы отделяли с помощью фильтрования через бумажный фильтр, промывали гексаном, а затем высушивали на воздухе. Полученные образцы $\text{Fe}_2\text{O}_3/\text{SiO}_2$ маркировали как SBA-15- Fe_2O_3 , а затем подвергали отжигу в токе воздуха в течение 3 ч при температурах 350–450 °C и обозначали SBA-15- $\text{Fe}_2\text{O}_3\text{-}T$, где $T = 350, 400, 425, 450$ °C.

Исследование поверхностных свойств образцов проводили методом адсорбции-десорбции азота при $T = 77$ K на приборе NOVA 4200-P (Quantachrome instruments, USA). Магнитные измерения проводились на SQUID-магнитометре S-600 (Cryogenics) компании INNOVENT Jena. Изучение микроструктуры полученных образцов проводили на просвечивающем электронном микроскопе Philips EM430ST. Рентгенофазовый анализ осуществляли на дифрактометре ДРОН-3М (шаг сканирования по 2θ 0.1°, время накопления сигнала 3 с) на CoK_α-излучении ($\lambda_{\text{ср}} = 1.54$ Å). Идентификацию проводили с использованием картотеки JSPDS. Атомную эмиссионную спектроскопию проводили на оптическом эмиссионном спектрометре Optima 5300 DV (Perkin Elmer). Исследования образцов методом мессбауэровской спектроскопии были выполнены на установке электродинамического типа с источниками ⁵⁷Co в матрице родия.

Результаты просвечивающей электронной микроскопии для свободных наночастиц свидетельствуют о том, что средний диаметр наночастиц составляет 7 нм. При этом поверхность частиц является частично аморфизованной, что соответствует координации поверхностных атомов молекулами поверхностно-активного вещества (олеиновой кислоты) (рис.1). По данным электронной дифракции, фазовый состав свободных наночастиц полностью отвечает $\gamma\text{-Fe}_2\text{O}_3$.

Микроструктура образца, полученного после пропитки мезопористого оксида кремния раствором $\gamma\text{-Fe}_2\text{O}_3$ в гексане и не подвергавшегося термической обработке, представлена на рис.2. На продольном сечении пористой структуры заметны темные сферические частицы, находящиеся в светлой матрице. Результаты электронной дифракции нанокомпозитов свидетельствуют о том, что фазовый составnano-

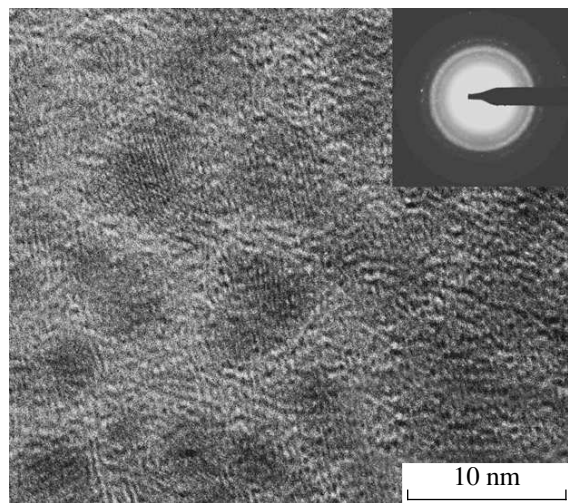


Рис.1. Электронная микрофотография (просвечивающий режим) и дифракция наночастиц $\gamma\text{-Fe}_2\text{O}_3$

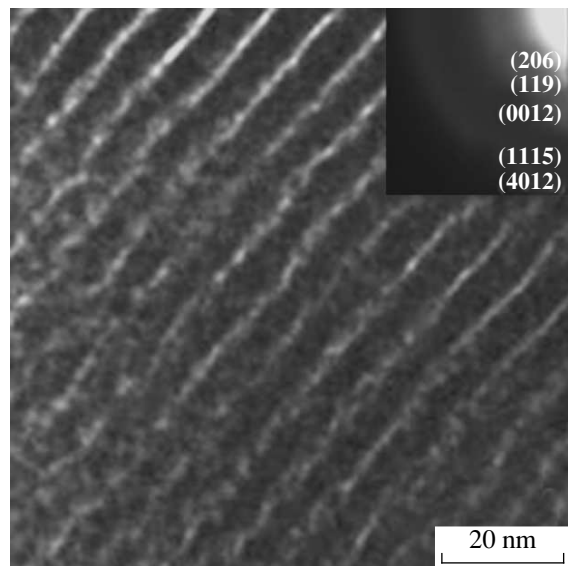


Рис.2. Электронная микрофотография (просвечивающий режим) и дифракция нанокомпозита $\gamma\text{-Fe}_2\text{O}_3/\text{SiO}_2$ (образец SBA-15_Fe₂O₃)

частич, расположенных в порах оксида кремния, полностью отвечает $\gamma\text{-Fe}_2\text{O}_3$. Следует отметить, что по данным химического анализа, в неотожженном нанокомпозите содержится 4% Fe_2O_3 .

Поверхностные свойства образцов, полученных после отжига в токе воздуха, были исследованы методом низкотемпературной адсорбции азота при 77 К. Данные о площади поверхности, объеме пор и их распределении по размерам приведены в таблице 1. Полученные данные показывают общую тенденцию

уменьшения площади удельной поверхности по сравнению с SBA-15 в среднем на 65.9%, что объясняется заполнением пор матрицы при пропитке ее раствором $\gamma\text{-Fe}_2\text{O}_3$ в гексане. Вероятно, при интеркаляции происходит частичное удаление с поверхности наночастиц оболочки из олеиновой кислоты, благодаря чему становится возможным заполнение пор. При последовательной термической обработке образца SBA-15_Fe₂O₃ происходит увеличение площади удельной поверхности и увеличение внутреннего объема мезопор, а также увеличение среднего радиуса пор. Наименьшей площадью удельной поверхности, равной $320 \text{ m}^2/\text{г}$, характеризуется неотожженный нанокомпозит. При отжиге при 400°C происходит увеличение площади до $600 \text{ m}^2/\text{г}$, при этом средний радиус пор возрастает с 2.56 до 2.73 Å. Данная тенденция продолжается при повышении температуры отжига, что можно объяснить уплотнением наночастиц оксида железа в порах оксида кремния при термической обработке и освобождением части пор.

Присутствие в порах мезопористого оксида кремния железа в степени окисления +3 подтверждается и данными мессбауэровской спектроскопии при 300 К (рис.3). На рисунке представлен дуплет, по-

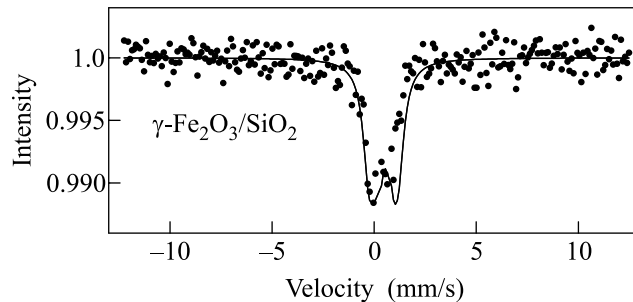


Рис.3. Мессбауэровский спектр нанокомпозита $\gamma\text{-Fe}_2\text{O}_3/\text{SiO}_2$ (образец SBA-15_Fe₂O₃)

лученный в результате аппроксимации экспериментальных точек гауссовским распределением. Величины изомерного сдвига и квадрупольного расщепления составляют соответственно 0.30 и 0.88 мм/с, что хорошо согласуется с литературными данными для трехвалентного железа [11, 12]. Следует отметить, что вид спектра свидетельствует о присутствии частиц $\gamma\text{-Fe}_2\text{O}_3$ в кристаллическом состоянии, поскольку аморфные материалы с разупорядоченной структурой не формируют парамагнитного дуплета [13]. Отсутствие магнитного расщепления свидетельствует о суперпарамагнитном поведении наночастиц при комнатной температуре.

Важнейшим параметром полученных нанокомпозитов для использования в качестве магнитных

Таблица 1

Характеристики, рассчитанные из данных низкотемпературной адсорбции азота при 77 К

Название образца	Удельная площадь поверхности, $\text{м}^2/\text{г}$	Радиус пор, нм	V пор, $\text{см}^3/\text{г}$
SBA-15	930 ± 50	2.70 ± 0.05	0.68 ± 0.05
SBA-15_ Fe_2O_3	320 ± 50	2.56 ± 0.05	0.36 ± 0.05
SBA-15_ Fe_2O_3 .400	600 ± 50	2.73 ± 0.05	0.59 ± 0.05
SBA-15_ Fe_2O_3 .425	720 ± 50	2.73 ± 0.05	0.59 ± 0.05
SBA-15_ Fe_2O_3 .450	780 ± 50	2.75 ± 0.05	0.60 ± 0.05

функциональных компонентов является анизотропия наночастиц (длина магнитного домена). В связи с невозможностью прямого определения параметров анизотропии методом просвечивающей электронной микроскопии, была проведена оценка размеров магнитнокоррелированных областей (то есть областей с одинаковой ориентацией магнитных моментов) по данным температурной зависимости магнитной восприимчивости.

Вид кривых температурной зависимости магнитной восприимчивости в интервале 2–300 К для образцов SBA-15_ Fe_2O_3 .350 и SBA-15_ Fe_2O_3 .400 соответствует суперпарамагнитному поведению нанокомпозитов [14] (рис.4 и рис.5). В обоих образцах кривые

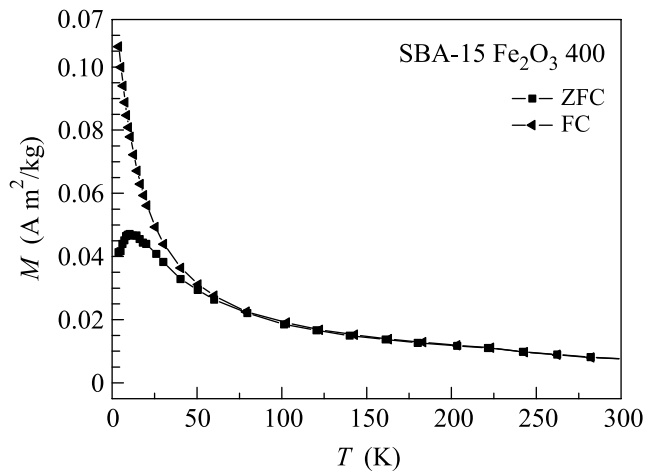


Рис.5. Температурные зависимости магнитной восприимчивости, полученные при охлаждении размагниченного образца SBA-15_ Fe_2O_3 .400 под действием (FC) и без воздействия (ZFC) внешнего магнитного поля

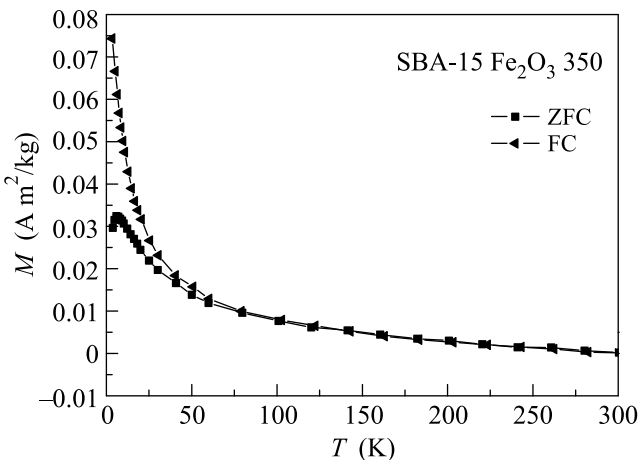


Рис.4. Температурные зависимости магнитной восприимчивости, полученные при охлаждении размагниченного образца SBA-15_ Fe_2O_3 .350 под действием (FC) и без воздействия (ZFC) внешнего магнитного поля

охлаждения под действием внешнего магнитного поля (обозначим их FC, данная аббревиатура расшифровывается как field cooling) и без воздействия внешнего магнитного поля (обозначим их ZFC, что означает zero field cooling) при высоких температурах совпадают, тогда как при понижении температуры они

начинают расходиться: кривая FC продолжает монотонно возрастать при понижении температуры, а на кривой охлаждения при отсутствии внешнего поля возникает отчетливый максимум.

Поскольку величина анизотропии в первом приближении пропорциональна объему частиц, то процесс блокировки-разблокировки имеет различный характер у частиц различного объема [15]. При уменьшении температуры происходит блокировка магнитных моментов частиц меньшего объема. Поэтому для частиц с наибольшим объемом температуру блокировки магнитных моментов рассчитывают как температуру, при которой достигается различие в 10% между значениями магнитной восприимчивости образца в температурных зависимостях, полученных охлаждением размагниченного образца в поле и без внешнего поля (FC и ZFC) (обозначим эту температуру как T_{sep}). Для частиц со средним объемом за температуру блокировки принимается температура, соответствующая максимуму на кривой охлаждения

Таблица 2

Магнитные характеристики образцов SBA-15-Fe₂O₃-350 и SBA-15-Fe₂O₃-400

Образец	T_{\max} и $T_{\text{рас}}$, К	Формфактор	H_c , Э (4К)
SBA-15-Fe ₂ O ₃ -350	5.4	0.9	168 ± 10
	30.5	8.3	
SBA-15-Fe ₂ O ₃ -400	10.2	3.5	232 ± 10
	40.5	10.6	

образца без внешнего поля (обозначим эту температуру как T_{\max}).

У полученных нанокомпозитов температура блокировки возрастает с увеличением температуры кристаллизации. Увеличение температуры блокировки с повышением температуры отжига, по-видимому, связано с удлинением нанонитей. Так как с увеличением температуры кристаллизации диаметр наночастиц не изменяется, поскольку они ограничены стенками пор мезопористого оксида кремния, то происходит увеличение фактора геометрической анизотропии наночастиц в единственном направлении, совпадающем с направлением каналов матрицы. Следствием этого является увеличение температуры блокировки [16].

Примем во внимание то, что под действием внешнего магнитного поля магнитные моменты наночастиц, составляющих нить, будут ориентироваться в одном направлении. Тогда параметры анизотропии (формфакторы) магнитных нанонитей в образцах можно оценить, исходя из размеров магнитно-коррелированных областей (то есть областей с одинаковым направлением магнитных моментов) при постоянном диаметре нити (диаметр нитевидных частиц принимали равным 2.5 нм) и используя уравнение [17]

$$T_B = \frac{\Delta E}{k \ln(\tau \cdot f_0)} \approx \frac{[0.25 \cdot I_s^2 (N_{\parallel} - N_{\perp}) + K_1]V}{25k},$$

где ΔE – активационный барьер, τ – время релаксации, f_0 – частотный фактор, N_{\perp} и N_{\parallel} – коэффициенты размагничивания перпендикулярно и параллельно осям легкого намагничивания, I_s – намагниченность насыщения, K_1 – константа магнитной анизотропии, V – объем частиц.

Расчет параметров анизотропии проводили, принимая во внимание магнитно-дипольные взаимодействия между наночастицами, которые учитывали интерполяцией экспериментальных значений температур блокировки для анизотропных наночастиц оксида железа логарифмической зависимостью от формфактора наночастиц [18]. Полученные значения ан-

изотропии нитей (формфакторы) и другие параметры магнитных свойств приведены в таблице 2. Из полученных данных следует увеличение формфакторов образцов при повышении температуры кристаллизации, что объясняется удлинением нанонитей оксида железа в порах мезопористого оксида кремния. Следствием удлинения магнитного домена является повышение коэрцитивной силы нанокомпозитов.

Кривые перемагничивания образцов при 300 К monotonno возрастают при увеличении приложенного магнитного поля, однако не доходят до уровня насыщения, вероятно, из-за анипараллельной направленности магнитных моментов в частицах, составляющих нанонити [19]. Гистерезис не наблюдается (рис.6а и рис.7а),

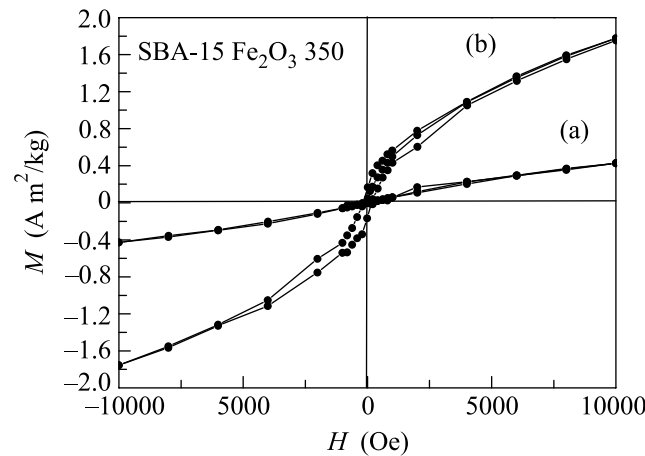


Рис.6. Кривые перемагничивания образца SBA-15-Fe₂O₃-350 при температуре 300 К (а) и 4 К (б)

однако при уменьшении температуры воздействия намагниченность образцов возрастает и появляется симметричная петля гистерезиса (рис.6б и рис.7б). По данным температурной зависимости магнитной восприимчивости у образцов SBA-15-Fe₂O₃-350 и SBA-15-Fe₂O₃-400, этот процесс происходит соответственно при 5 и 10 К, когда начинается переход частиц из суперпарамагнитного состояния в ферримагнитное. Появление магнитных свойств

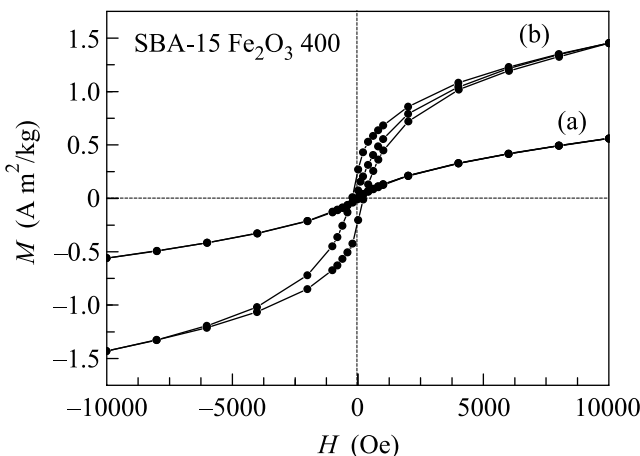


Рис.7. Кривые перемагничивания образца SBA-15 Fe_2O_3 400 при температуре 300 К (а) и 4 К (б)

нанокомпозитов при низких температурах обусловлено блокировкой, “замораживанием” магнитных моментов наночастиц и ориентирование их под действием магнитного поля не хаотично, а в строго определенном направлении.

Таким образом, методом внедрения наночастиц γ -оксида железа в матрицу мезопористого оксида кремния получены нанокомпозиты $\gamma\text{-Fe}_2\text{O}_3/\text{SiO}_2$. В работе установлено, что при термической обработке образцов происходит увеличение площади удельной поверхности, внутреннего объема пор, а также увеличение среднего радиуса пор. Показано, что при повышении температуры отжига происходит рост коэрцитивной силы магнитных нанокомпозитов. Для ряда образцов рассчитаны формфакторы магнитно-коррелированных объемов, формируемых наночастицами $\gamma\text{-Fe}_2\text{O}_3$.

1. A. Hernando and J. M. Gonzalez, *Hyperfine Interact.* **130**, 221 (2000).
2. J. S. Blakemore, *Solid state physics*, Cambridge University Press, Cambridge 1985, p. 608.
3. A. H. Morrish, *The physical principles of magnetism*, Wiley, New York, 1965, p. 355.
4. R. Dagani, *Chemical and Engineering News* **33**, 18 (1992).
5. C. Pascal, J. Pascal, and F. Favier, *Chem. Mater.* **11**, 141 (1999).
6. J. L. Shi, Z. L. Hua, and L. X. Zhang, *Chem. Mater.* **4**, 795 (2004).
7. X. H. Jin and L. Gao, *Inorg. Mater.* **16**, 200 (2001).
8. R. Leon, D. Margolese, and G. Stucky, *Phys. Rev.* **4**, 51 (1995).
9. G. De, L. Tapfer, and M. Catalano, *Appl. Phys. Lett.* **68**, 3820 (1996).
10. J. M. Kim, Y. J. Han, and F. Bradley, *Chem. Commun.* **76**, 2437 (2000).
11. J. Park, E. Lee, N. Hwang, and M. Kang, *Angew. Chem. Int. Ed.* **44**, 2872 (2005).
12. P. Gutlich, R. Link, and A. Trautwein, *Mössbauer Spectroscopy and Transition Metal Chemistry*, Springer-Verlag, Berlin, 1978, p. 56.
13. D. Darby, *Am. Mineral.* **70**, 304 (1985).
14. H. H. Wickman, *Mössbauer Effect Methodology*, Plenum Press, New York, 1966, p. 39.
15. L. Neel, *Ann. Geophys.* **5**, 99 (1949).
16. C. Cannas, E. Musu, and A. Musinu, *J. of Non-Crystalline Solids* **345**, 653 (2004).
17. D. L. Leslie-Pelecky and R. D. Rieke, *Chem. Mat.* **8**, 1770 (1996).
18. H. Sato and T. Umeda, *Mat. Trans. Jim.* **34**, 76 (1993).
19. J. M. Coey and D. Khalafalla, *Phys. Stat. Solidi* **11**, 229 (1972).